

III-135 Limit analysis 法による地震時等の慣性力を考慮した斜面の安定解析について

岩手県立農業大学 正員 澤田知之
北海道大学 正員 能町純雄
Purdue大学 W.-F. Chen

1 まえがき

斜面の安定における研究は静的安定解析における安定係数の評価を始め多くの実験的、解析的研究が発表されており、striploadやSurcharge下の解析¹⁾も行なわれている。一方、地震時ににおける地盤の急激な動きは大きな慣性力を伴う緊張²⁾を受けて斜面の安定は著しく減少されるものと考えられる。本論はこの地震時等の慣性力が作用する際の斜面を取り上げ limit analysis 法による upper bound technic により、上部斜面角(α)及び Surcharge(P)を考慮した斜面の局部崩壊における限界加速度係数(K_a)を評価しようとするものである。崩壊形式は、すべり面を平面すべり面と対数螺旋すべり面を仮定し、土は完全塑性体として考え Coulomb の降伏条件による flow rule によって変形するものとし、斜面先崩壊を想定している。本報告は Generalized Reduced Gradient 法による最適化された 2, 3 の結果を得たので報告するものである。

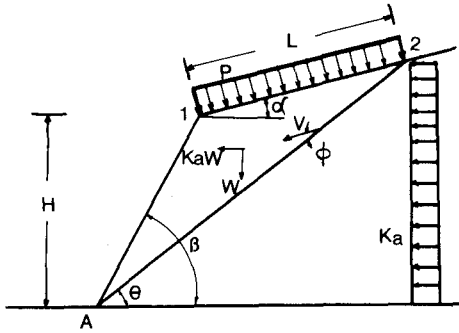


Fig.-1

Translational Local Slope Failure Mechanism

2 平面すべり面崩壊機構

図-1 に示す様に領域 A-1-2 は高さ H を持つて斜面先端 A を通り剛体として速度 V ですべり面 A-2 に沿ってすべる。この時の崩壊すべり面は、 θ 、 L を媒介変数として示され各々土の質量、慣性力載荷量及び土の粘着力による外力と内力による仕事率(rate of work)と内部エネルギー発散を考えそのつり合いを取ることにより、限界加速度係数(K_a)は次の様に示される。

$$K_a = \frac{\frac{C \cos \phi \cdot \sin(\beta - \alpha)}{\sin(\beta - \theta) \cos(\theta - \phi)} - P \tan(\theta - \phi) - \frac{\delta H \sin(\beta - \alpha)}{2 \sin \beta} \tan(\theta - \phi)}{\frac{\delta H}{\sin \beta} + P \times} \quad (1)$$

ここで

$$L = \frac{H \sin(\beta - \theta)}{\sin \beta \sin(\theta - \alpha)} \quad (2) \quad C: 土の粘着力(単位)$$

δ : 土の単位重量(kg/m^3) P : 載荷量(単位)

ϕ : 土の内部摩擦角 β : 下部斜面角

V : 土のすべり部分の任意点における速度ベクトル

X : 載荷量による慣性力増加率

よって (1)(2) より (3) を満足する θ の時の最小の限界加速度係数(K_a)の上限値を求め得る。

$$\frac{\partial K_a}{\partial \theta} = 0 \quad (3)$$

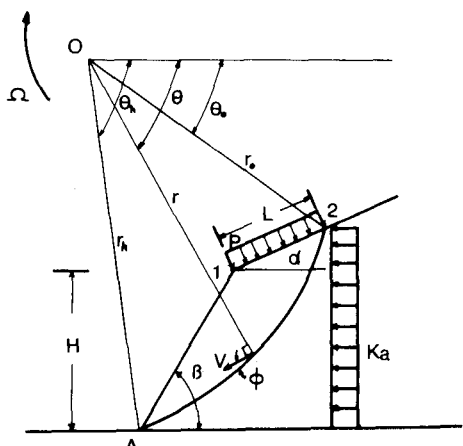


Fig.-2

Rotational Local Slope Failure Mechanism

3 対数螺旋すべり面崩壊機構

次に 図-3 は回転中心 O に対して回転速度 Ω であり、H の及び θ_h で示されるすべり面である。ここで幾何学的関係より H/θ_h が β/θ_h は (4) (5) で示される。

$$\frac{H}{\theta_h} = \frac{\sin \beta}{\sin(\beta-\alpha)} \left\{ \sin(\theta_h+\alpha) \cdot \exp[(\theta_h-\theta_0)\tan\phi] - \sin(\theta_0+\alpha) \right\} \quad (4)$$

$$\frac{H}{\theta_h} = \frac{\sin(\theta_h-\theta_0)}{\sin(\theta_h+\alpha)} - \frac{\sin(\theta_h+\beta)}{\sin(\theta_h+\alpha)\sin(\beta-\alpha)} \left\{ \exp[(\theta_h-\theta_0)\tan\phi] \cdot \sin(\theta_h+\alpha) - \sin(\theta_0+\alpha) \right\} \quad (5)$$

又、前述 2 と同様にすべり面に沿った内部エネルギー (W_i) と各々の領域における土の質量、慣性力及び載荷量の外力による仕事率 ($\dot{W}_1 \sim \dot{W}_6, \dot{W}_P$) を取りり合いを取りと次の様に示される。

$$\dot{W}_i = (\dot{W}_1 - \dot{W}_2 - \dot{W}_3) + (\dot{W}_4 - \dot{W}_5 - \dot{W}_6) + \dot{W}_P \quad (6)$$

ここで $\dot{W}_i, \dot{W}_1 \sim \dot{W}_6, \dot{W}_P$ は θ_0, θ_h の関数で示され次の如く表わされる。

$$K_a = \frac{C \cdot f_c - r \cdot f_0 (f_1 - f_2 - f_3) - P \cdot F_p}{r \cdot f_0 (f_4 - f_5 - f_6) + x \cdot P \cdot F_p} \quad (7)$$

$$f_c(\theta_0, \theta_h) = \frac{1}{2\tan\phi} \left\{ e^{2(\theta_h-\theta_0)\tan\phi} - 1 \right\}$$

$$f_1(\theta_0, \theta_h) = \frac{1}{3(1+q\tan\phi)} \left\{ e^{3(\theta_h-\theta_0)\tan\phi} \cdot (3\tan\phi \cos\theta_h + \sin\theta_h) - 3\tan\phi \cos\theta_0 - \sin\theta_0 \right\}$$

$$f_2(\theta_0, \theta_h) = \frac{1}{6} \left\{ 2\cos\theta_0 - \frac{L}{6} \cos\alpha \right\} \sin(\theta_0+\alpha)$$

$$f_3(\theta_0, \theta_h) = \frac{1}{6} e^{(\theta_h-\theta_0)\tan\phi} \left\{ \sin(\theta_h-\theta_0) - \frac{L}{6} \sin(\theta_0+\alpha) \right\} \left\{ \cos\theta_0 - \frac{L}{6} \cos\alpha + \cos\theta_h e^{(\theta_h-\theta_0)\tan\phi} \right\}$$

$$f_4(\theta_0, \theta_h) = \frac{1}{3} \left\{ (3\tan\phi \sin\theta_h - \cos\theta_h) e^{3(\theta_h-\theta_0)\tan\phi} - 3\tan\phi \sin\theta_0 + \cos\theta_0 \right\}$$

$$f_5(\theta_0, \theta_h) = \frac{1}{6} \left\{ 2\frac{L}{6} \sin\theta_0 + \left(\frac{L}{6} \right)^2 \sin\alpha \right\} \sin(\theta_0+\alpha)$$

$$f_6(\theta_0, \theta_h) = \frac{1}{6} e^{(\theta_h-\theta_0)\tan\phi} \left\{ \sin(\theta_h-\theta_0) - \frac{L}{6} \sin(\theta_0+\alpha) \right\} \left\{ e^{(\theta_h-\theta_0)\tan\phi} \cdot \sin\theta_h + \sin\theta_0 + \frac{L}{6} \sin\alpha \right\}$$

$$F_p(\theta_0, \theta_h) = \frac{L}{6} \cos\theta_0 \left(\cos\theta_0 - \frac{L}{6} \cos\alpha \right)$$

$$F_g(\theta_0, \theta_h) = \frac{L}{6} \left(\sin\theta_0 + \frac{L}{6} \sin\alpha \right)$$

よって (8) を解くことにより θ_0, θ_h の最適値を得。 (7) により、最小の限界加速度係数 K_a の上限を知り得る。

$$\frac{\partial K_a}{\partial \theta_0} = 0 \text{ and } \frac{\partial K_a}{\partial \theta_h} = 0 \quad (8)$$

4 数値計算例及び考察

図-3 は各々平面と対数螺旋すべり面に対する K_a 比を縦軸に、上部斜面角 α を横軸にとって下部斜面角 β の違いによってグラフに取ったものですべて 1.0 より小さく対数螺旋すべり面崩壊が支配していることを示す。又 α が大きくなると比が小さくなりすべりが起きやすい方向に進むことを示す。

表-1 は載荷量 P 及び XK を考慮した場合の平面すべりと対数螺旋すべりの場合の K_a の変化を求めたものである。又 $\alpha=0$

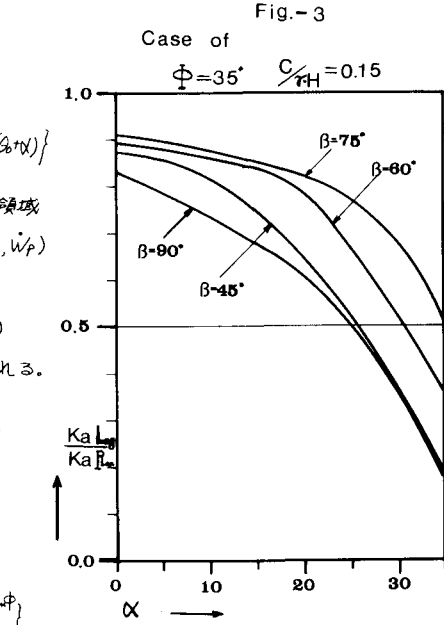


Table - 1

上部斜面角 α	$P=0.0$ $XK=0.0$		$P=0.06 \text{ kg/cm}^2$ $XK=0.5$	
	Plane	Log.	Plane	Log.
0	0.560	0.516	0.552	0.508
5	0.560	0.508	0.552	0.499
10	0.560	0.499	0.551	0.490
15	0.560	0.487	0.550	0.477
20	0.560	0.482	0.549	0.461
25	0.560	0.444	0.548	0.436
30	0.560	0.336	0.548	0.335
35	0.564	0.255	0.548	0.255
40	0.614	0.177	0.577	0.178

$XK=0$ とした時の K_a を用いて分割法 (Janbu 法) による limit equilibrium 法により、安全係数 (factor of safety) を求めると ($\beta=60^\circ, 75^\circ$) は $f.s=1.0$ 附近

の値を示し妥当と考えられる。数値の相違は円弧すべり面として仮定した際の放と考えられる。(表-2) *参考文献

Table - 2

β	60°	75°
K_a	0.516	0.333
F.S	0.933	1.005

$\phi=40^\circ$
 $P=0.0$
 $XK=0.0$
 $d=0.0$

1) W.F.Chen "Limit Analysis and Soil plasticity". Scientific Publishing Co., Elsevier, Amsterdam, The Netherlands, 1975

2) W.F.Chen "On the Limit analysis of Stability of slopes" Soils and Foundation, JSSMFE Vol.9 No.4 1969 P.23~32

3) W.F.Chen "Plasticity in Soil Mechanics and Landslides" ASCE Vol.106 No.EM3 June 1980 P.443~464

4) Kurokubo, Kimura, Yamaguchi "Bearing Capacity of slope under Strip load on the Top surface" JSSMFE Vol.21 No.4 Dec. 1981

5) R.A.Siegel "STABL User Manual" Joint Highway Research Project, JTRP-75-9, Purdue University, 1978.